

УДК 533.9

**ОБ ИЗМЕРЕНИИ ЗАСЕЛЕННОСТИ  
РЕЗОНАНСНОГО УРОВНЯ  $6^3P_1$  РТУТИ В ПАРАХ РТУТИ  
И В СМЕСЯХ ПАРОВ РТУТИ С ИНЕРТНЫМИ ГАЗАМИ  
В МОДУЛИРОВАННОМ РАЗРЯДЕ**

*Ю. Б. Голубовский, Ю. М. Каган,  
В. М. Миленин и В. И. Рыков*

Методом лучеиспускания определяются концентрации атомов на резонансном уровне в неоднородной аксиальносимметричной и оптически плотной среде. Измерена по периоду заселенность резонансного уровня  $6^3P_1$  ртути в модулированном режиме. Модуляция концентрации резонансных атомов связана с изменением по периоду концентрации метастабильей, так как в заселении резонансного уровня существенную роль играют переходы с метастабильных уровней  $6^3P_{02}$  ртути.

В работе проведены измерения заселенности резонансного уровня  $6^3P_1$  в парах ртути и в смесях ртути с инертными газами. Измерения проводились в разрядной трубке с накальным катодом диаметром 3 см и длиной между электродами 100 см. Разрядная трубка термостатировалась, давление паров ртути составляло  $p=1.2 \cdot 10^{-3}$  тор. Давление инертного газа составляло: в смеси ртуть—гелий  $p=0.5$  тор, в смеси ртуть—неон  $p=0.5 \div 2.5$  тор и в смеси ртуть—аргон  $p=0.6 \div 2.5$  тор. Среднее значение разрядного тока равнялось  $i=100 \div 200$  мА. Величины разрядного тока и давления инертного газа снизу ограничивались шумами в разряде, а сверху — появлением электрофореза. Основные измерения в модулированном режиме проводились при частотах  $\nu=2 \div 5$  кГц.

Из-за возможного влияния электрофореза в осевом направлении разряда измерения проводились попрек разрядной трубки. Полагали, что в радиальном направлении электрофорез отсутствует.

Попытки измерить концентрацию атомов ртути в состоянии  $6^3P_1$  по поглощению линии 4358 Å оказались неудачными из-за малости величины поглощения. Заселенность атомов на резонансном уровне  $6^3P_1$  в наших условиях разряда на порядок меньше, чем заселенность метастабильных уровней  $6^3P_{02}$ . Поэтому в работе использовался вариант метода лучеиспускания, учитывающий неоднородность источника и пленение резонансного излучения при выходе из разрядной трубки.

Подробное изложение предлагаемого метода будет опубликовано в следующей работе.

Поток в спектральной линии частотой  $\nu$ , попадающий в спектральный прибор от области вблизи оси (рис. 1), выражается формулой

$$F(0) = \frac{N_0 h \nu A}{4\pi} \Omega' S 2 R J(0) = F_0 J(0), \quad (1)$$

где  $N_0$  — концентрация излучающих атомов на оси,  $A$  — вероятность спонтанного излучения,  $h\nu$  — энергия кванта,  $\Omega'$  — телесный угол, под которым излучение от разрядного объема проходит через щель площадью  $S$ ,  $R$  — радиус разрядной трубки,

$$J(0) = \frac{1}{2} \int_0^1 \varphi(x) [f(1-x) + f(1+x)] dx. \quad (2)$$

В формуле (2)  $(x)=\rho/R$ ,  $\varphi(x)$  — относительное распределение возбужденных атомов, равное единице на оси,  $j(t)$  — вероятность выхода фотона из точки  $t$  за пределы разрядной трубы,  $f(1)$  — вероятность выхода фотона, испущенного на оси, за пределы разрядной трубы. Эта величина вычислялась по формулам работы [1].

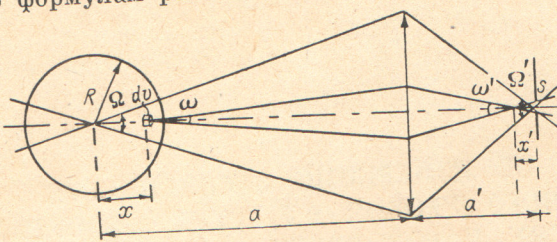


Рис. 1. К выводу формулы светового потока для неоднородного и поглощающего источника.

При записи радиального распределения по схеме, изображенной на рис. 2, поток, попадающий в спектральный прибор на высоте  $y=r/R$ , будет равен

$$F(y) = F_0 J(y), \quad (3)$$

где

$$J(y) = \frac{1}{2} \int_0^{\sqrt{1-y^2}} \varphi(x) [f(1-x) + f(1+x)] dx. \quad (4)$$

Переходя в (4) к интегрированию по  $r=\sqrt{x^2+y^2}$ , получаем

$$J(y) = \frac{1}{2} \int_y^1 \frac{\Phi(r) r dr}{\sqrt{r^2 - y^2}}, \quad (5)$$

где

$$\Phi(r) = \varphi(r) [f(1-r) + f(1+r)]. \quad (6)$$

При отсутствии самопоглощения  $f(t)=1$ , получаем обычное уравнение Абеля для связи между  $J(y)$  и  $\varphi(r)$ . Решение (5) имеет вид

$$\Phi(r) = -\frac{1}{4\pi} \int_r^1 \frac{J'(y)}{\sqrt{y^2 - r^2}} dy, \quad (7)$$

где  $J'(y)$  обозначает производную по  $y$ . Для решения применялся численный метод, описанный в работе [2].

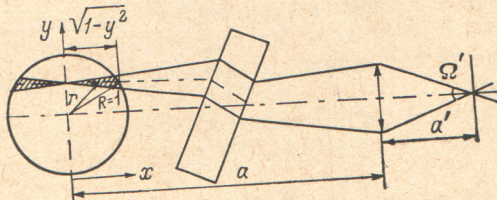


Рис. 2. К расчету радиального распределения излучающих атомов.

В эксперименте обычно измеряется непосредственно отношение  $J(y)/J(0)$ , что позволяет найти  $\Phi(0)/J(0)$  и в конечном счете концентрацию излучающих атомов  $N_0$  по формуле (1). При этом величина  $F(0)$  измерялась в абсолютной мере путем сравнения потока в телесном угле  $\Omega'$  в линии 2537 Å с потоком от градуированной водородной лампы ВСФУ-3 [3].

Для нахождения величины  $J(0)$  необходимо вычислить вероятность выхода кванта с оси разряда  $f(1)$ . Она равна

$$f(k_0 R) = \frac{\int_0^{\infty} \varepsilon_{\nu} e^{-k_{\nu} R} d\nu}{\int_0^{\infty} \varepsilon_{\nu} d\nu}, \quad (8)$$

где  $k_0$  — коэффициент поглощения в центре спектральной линии,  $R$  — радиус разрядной трубки.

Проведенные в исследуемых условиях разряда оценки уширения линии ртути  $2537 \text{ \AA}$ , вызванные взаимодействием излучающего атома с атомами ртути и инертного газа, показали, что отклонение контура спектральной линии от дошпллеровского имеет место на расстояниях от центра спек-

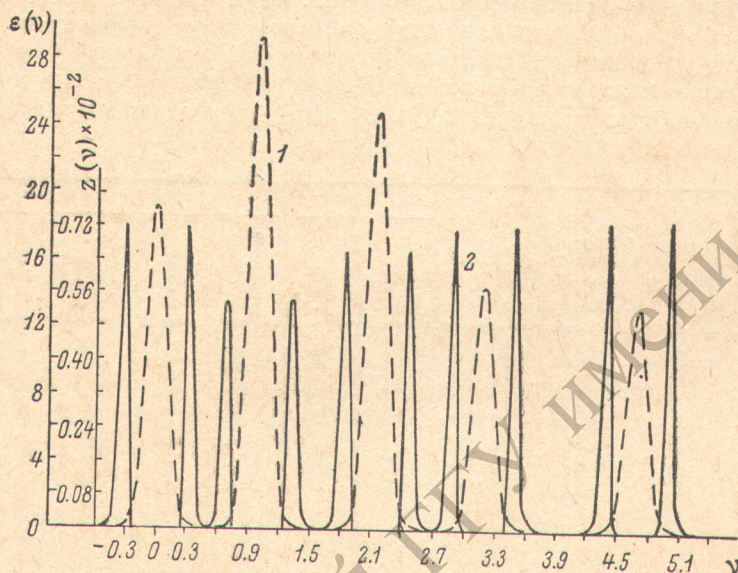


Рис. 3.

1 — сверхтонкая структура резонансной линии ртути  $2537 \text{ \AA}$ , 2 — функция  $z(\nu) = \varepsilon_{\nu} e^{-k_{\nu} R}$ .

тральной линии, превышающих три дошпллеровские полуширины. Поскольку максимумы функции

$$z(\nu) = \varepsilon_{\nu} e^{-k_{\nu} R} \quad (9)$$

находятся на расстояниях, заметно меньших (рис. 3, кривая 2), то в формировании вероятности вылета фотона лорентзовское крыло не играет роли, и контур считался дошпллеровским.

При расчете  $f(1)$  учитывалась сверхтонкая структура резонансной линии ртути  $2537 \text{ \AA}$ , которая состоит из пяти неперекрывающихся компонент [4] (рис. 3, кривая 1, температура газа бралась равной  $300 \text{ K}$ ).

Коэффициенты поглощения отдельных компонент относятся как интенсивности соответствующих компонент сверхтонкой структуры (последние известны из эксперимента)

$$\left. \begin{aligned} k_{01} : k_{02} : \dots : k_{05} &= \varepsilon_{01} : \varepsilon_{02} : \dots : \varepsilon_{05}, \\ k_{01} + k_{02} + \dots + k_{05} &= k_0. \end{aligned} \right\} \quad (10)$$

Суммарный коэффициент поглощения можно рассчитать по формуле

$$k_0 = \sum_{i=1}^5 k_{0i} = \frac{\pi e^2}{mc} \frac{2\sqrt{2}}{\sqrt{\pi} \Delta \nu_D} f N = 7.5 \cdot 10^{-13} N, \quad (11)$$

где  $N$  — полная концентрация поглощающих атомов,  $f$  — сила осциллятора соответствующего перехода,  $\Delta\nu_b$  — допплеровская полуширина. Определив из (11) величину  $k_0$ , можно из (10) вычислить коэффициент поглощения для каждой компоненты  $k_{0i}$ .

Как видно из рис. 3, зависимость  $z(\nu)$  состоит из отдельных неперекрывающихся максимумов. Это позволяет представить функцию  $f(k_0R)$  в виде

$$f(k_0R) = \frac{\sum_{i=1}^5 \int_0^\infty \varepsilon_{\nu_i} e^{-k_{0i}R} d\nu}{\sum_{i=1}^5 \varepsilon_{\nu_i} d\nu}. \quad (12)$$

Наряду с измерениями проводился и расчет концентрации резонансных атомов для стационарных условий. При расчете использовались измеренная функция распределения электронов по энергиям и экспериментальные значения сечений возбуждения [5]. Уравнения баланса брались в том же виде, как и в работе [6]. Результаты расчетов и измерений концентрации атомов ртути на уровне  $6^3P_1$  для стационарного режима сопоставлены в таблице.

Вид смеси	Давление инертного газа $p$ , тор	$i$ , мА	$N_{6^3P_1}, 10^{11} \text{ см}^{-3}$		$I(6^3P_1 \cdot 10^{-14} (\text{см}^{-3} \cdot \text{с}^-))$		
			эксперимент	расчет	расчет	прямое возбуждение	перемешивание $6^3P_2 \rightarrow 6^3P_1 \leftarrow 6^3P_0$
Hg	0	200	0.027	0.027	16	21	15
Hg—Ne	0.5	100	0.15	0.14	92	101	36
	2.5	100	0.24	0.28	148	206	57
Hg—He	0.5	100	0.19	0.26	117	141	62
	0.6	200	0.29	0.14	176	100	32
Hg—Ar	2	200	0.37	0.13	227	85	28
							57

При исследовании абсолютной интенсивности линии  $2537 \text{ \AA}$  и заселенности резонансного уровня  $6^3P_1$  в режиме модуляции удобно использовать осциллографический способ регистрации изменения параметров по периоду колебания тока. Модулированный световой сигнал от резонансной линии  $2537 \text{ \AA}$ , преобразованный в электрический, подавался на открытый вход одного из лучей осциллографа. На второй луч подавался сигнал, пропорциональный разрядному току. Таким образом, один луч описывает изменение по периоду интенсивности линии  $2537 \text{ \AA}$ , а второй — изменение разрядного тока. Если шкалу экрана осциллографа прокалибровать по эталонному источнику, то ход луча будет отображать изменения абсолютного значения интенсивности линии  $2537 \text{ \AA}$  или заселенности (в другом масштабе) резонансного уровня  $6^3P_1$  по периоду колебания тока. Это упрощает измерение по фазам параметров разряда. На рис. 4,  $a$ ,  $b$  приведены изменения по периоду концентрации атомов ртути на уровне  $6^3P_1$  при частоте возмущения  $\nu=2 \text{ кГц}$  и глубине модуляции разрядного тока  $\beta_i=55\%$  в парах ртути и в смеси ртуть—аргон.

В исследуемых условиях разряда, как показали расчеты, уровень  $6^3P_1$  разрушается в основном за счет резонансного излучения. Вероятность выхода резонансного фотона составляет  $10^5 \text{ с}^{-1}$ , что на два порядка больше частоты модуляции разрядного тока. При таком соотношении частот изменения концентрации атомов на уровне  $6^3P_1$  должны совпадать по фазе с колебаниями тока. Однако, как видно из рис. 4,  $a$ , изменения концентрации на уровне  $6^3P_1$  в парах ртути отстают от колебаний тока, а в смеси ртуть—аргон опережают ток (рис. 4,  $b$ ). Это объясняется тем, что наряду с возбуждением уровня  $6^3P_1$  из основного состояния существен-

ную роль играет и заселенность его с метастабильных уровней  $6^3P_{02}$ . В большей мере это проявляется в смесях ртути с инертными газами. В таблице приведены числа актов возбуждения уровня  $I$  ( $6^3P_1$ ) из основного состояния и с метастабильных уровней, а также сопоставлены рассчитанные и измеренные числа квантов резонансной линии 2537 Å.

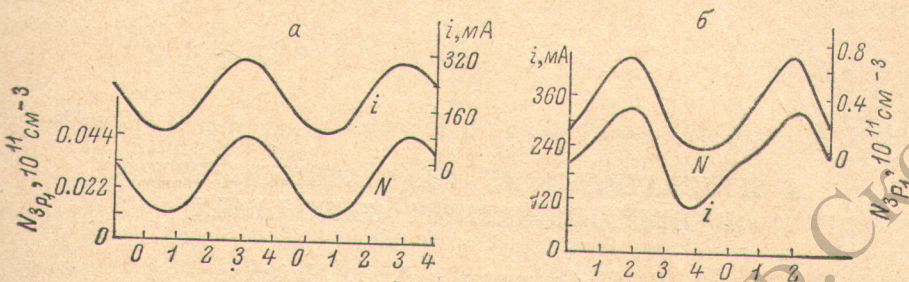


Рис. 4. Изменение по периоду концентрации  $N$  атомов ртути на резонансном уровне  $6^3P_1$  и разрядного тока  $i$ .

*a* — в парах ртути, *б* — в смеси ртуть—аргон.

Руководствуясь расчетными данными таблицы и результатами работ [7, 8], где исследовалась в этих же условиях модуляция концентрации метастабильных атомов ртути в состояниях  $6^3P_{02}$ , можно сделать вывод, что фазовые изменения концентрации атомов на уровне  $6^3P_1$  относительно колебаний тока определяются колебаниями концентрации метастабильных атомов.

При модуляции разрядного тока частотой  $\nu=5$  кГц ход по периоду заселенности резонансного уровня  $6^3P_1$  также определяется модуляцией концентрации метастабильных атомов.

#### Литература

- [1] Л. М. Биберман, Н. М. Гуревич. ЖЭТФ, 20, 108, 1950.
- [2] С. П. Варшавский, А. А. Митюрова, Н. П. Пенкин. Опт. и спектр., 28, 26, 1970.
- [3] O. H. Nestor, H. N. Olsen. SIAM Rev., 2, 200, 1960.
- [4] А. Митчел, М. Земанский. Резонансное излучение и возбужденные атомы. ОНТИ, М., 1937.
- [5] Ю. М. Каган, В. М. Миленин, В. И. Рыков. ЖТФ, 45, 1689, 1975.
- [6] Ю. М. Каган, Б. Касмалиев. Опт. и спектр., 24, 663, 1968.
- [7] Ю. М. Каган, В. М. Миленин, В. И. Рыков. ЖТФ, 45, 1725, 1975.
- [8] Ю. М. Каган, В. М. Миленин, В. И. Рыков. ЖТФ, 46, вып. 3, 1976.

Поступило в Редакцию 23 декабря 1975 г.